

ผลของเวลาที่ใช้ปรับสภาพด้วยพลาสมาต่อแรงตึงเจือนระหว่างเดือยคอมโพสิตเสริมเส้นใย กับคอมโพสิตแกนฟันชนิดเหลว และ การเปียกบนพื้นพิวพอลิเมอร์

Effect of Plasma Treatment Time on Tensile-shear Bond Strength between Fiber-reinforced Composite Post and Flowable Composite Core and Wettability on Polymer Surfaces

พิริยะ யาวิราช¹, พิลัยคิษฐ์ ชัยจิรินท์¹, เกษรา บั้งหมัพนธ์¹, มีวรรณ บุญญูวรรณ², Hidekazu Takahashi³, แม่นสวาง อักขระนุกิจ⁴

¹ภาควิชาทันตกรรมประดิษฐ์ คณะทันตแพทยศาสตร์ มหาวิทยาลัยเชียงใหม่

²คณะวิทยาศาสตร์ มหาวิทยาลัยเชียงใหม่

³Department of Restorative Science, Tokyo Medical & Dental University, Tokyo, Japan

⁴ภาควิชาทันตกรรมประดิษฐ์ คณะทันตแพทยศาสตร์ จุฬาลงกรณ์มหาวิทยาลัย กรุงเทพมหานคร
Piriya Yavirach¹, Pisaosit Chaijareenont¹, Kassara Pattamapun¹, Dheerawan Boonyawan²,

Hidekazu Takahashi³, Mansuang Arksornnukit⁴

¹Department of Prosthodontics, Faculty of Dentistry, Chiang Mai University

²Faculty of Science, Chiang Mai University

³Department of Restorative Science, Tokyo Medical & Dental University, Tokyo, Japan

⁴Department of Prosthodontics, Faculty of Dentistry, Chulalongkorn University, Bangkok

ปม.พันดสฯ 2553; 31(1) : 67-76

CM Dent J 2010; 31(1) : 67-76

บทคัดย่อ

การปรับสภาพด้วยพลาสมาเป็นอีกทางเลือกหนึ่งในการปรับปรุงคุณสมบัติการยึดติดของเดือยคอมโพสิตเสริมเส้นใย อย่างไรก็ตาม ปัจจัยเชิงเทคนิคของวิธีนี้จำเป็นต้องได้รับความกระจ่างโดยเฉพาะระยะเวลาที่ใช้ปรับสภาพ วัตถุประสงค์ของการศึกษารังนี้ เพื่อประเมิน ผลของระยะเวลาในการปรับสภาพด้วยพลาสมาต่อการยึดติดระหว่างเดือยคอมโพสิตเสริมเส้นใย กับ คอมโพสิตแกนฟันชนิดเหลว เดือยสองชนิด คือ เดือยที่มีส่วนประกอบพื้นฐานของเมทริกซ์เป็นเมทา คิริเลต (FRC Postec) กับที่มีส่วนประกอบพื้นฐานของเมทริกซ์เป็น เรซิน อิปอกซี (DT Light post)

Abstract

Plasma treatment is an alternative way in improving bonding properties of fiber-reinforced post. However, technical parameters of this treatment need to be clarified, especially treatment time. The purpose of this study was to evaluate the effect of plasma treatment time on adhesion between fiber-reinforced post and a flowable composite core. Two types of post, methacrylate-based matrix (FRC Postec) and epoxy resin-based matrix (DT Light post) were treated with the mixture of Helium and Nitrogen

ถูกปรับสภาพด้วย ชีลี่ย์มผสมกับไนโตรเจนพลาสมา ($\text{He}+\text{N}_2$) โดยใช้เครื่องกำเนิดคลื่นวิทยุ ในระยะเวลาที่แตกต่างกันก่อนนำมาเย็บติดกับคอมโพสิตชนิดเหลวที่มีส่วนประกอบพื้นฐานคือเมทาคริเลต ซึ่งงานถูกทดสอบด้วยการดึงโดยใช้เครื่องทดสอบ sagel การวิเคราะห์ความแปรปรวนแบบจำแนกทางเดียวกันให้เห็นว่า เวลาที่มีประสิทธิภาพในการปรับสภาพเดียวกัน FRC Postec และ DT Light คือ 10 และ 15 นาทีตามลำดับ คุณสมบัติการยึดติดของเดือยหั้งสองชนิดมีแนวโน้มลดลงเมื่อเวลาปรับสภาพด้วยพลาสมานานขึ้น มุมสัมผัสแอดแวนซิ่งของหยดน้ำบนพอลิเมอร์ที่มีส่วนประกอบพื้นฐานเป็นเมทาคริเลต และ อิปอกซี่ เรซิน มีค่าลดลงเมื่อเวลาปรับสภาพด้วยพลาสมานานขึ้น

คำสำคัญ: เดือยคอมโพสิตเสริมเส้นใย แรงดึงเฉือน การปรับสภาพด้วยพลาสมา มุมสัมผัส

($\text{He}+\text{N}_2$) plasma using a radiofrequency generator with various times before bonding to flowable methacrylate-based composite. Pull-out tests were performed using a universal testing machine. One-way ANOVA revealed that the best plasma treatment time for FRC Postec and DT Post was 10 and 15 minutes respectively. The adhesive properties of both posts tend to degrade with longer plasma treatment time. Water advancing contact angles on methacrylate-based polymer and epoxy resin-base polymer were decreased as the plasma treatment time was increased.

Keywords: Fiber-reinforced composite post, tensile-shear bond strength, plasma treatment, contact angle

บทนำ

ปัจจุบันการใช้เดือยคอมโพสิตเสริมเส้นใยแก้วหรือคัวห์ซ์ ร่วมกับการนูรูนจะพื้นที่ผ่านการรักษาคลองรากฟันได้รับความนิยมอย่างแพร่หลายเนื่องจาก ให้ความสวยงามเมื่อใช้ร่วมกับครอบฟันเซรามิกล้วน⁽¹⁾ (all ceramic crown) ลดการแตกของรากฟัน⁽²⁾ ลดเวลาในการรักษา และสามารถรื้อได้ง่าย⁽³⁾ เดือยเสริมเส้นใยแก้วหรือคัวห์ซ์ประกอบด้วยตัวเร้นไนยีปะมาณ 60 เปอร์เซ็นต์ และล้อมรอบด้วยพอลิเมอร์ซึ่งส่วนมากมักได้แก่ พอลิเมอร์เมทิริกซ์ของเมทาคริเลต (methacrylate base) หรือเรซินอีปอกซี่ (epoxy resin) ทำให้โมดูลัสยืดหยุ่น (modulus of elasticity) มีขนาดใกล้เคียงกับเนื้อรากฟัน⁽⁴⁾ และเรซินคอมโพสิต⁽⁵⁾ เมื่อใช้เรซินซีเมนต์ยึดเดือยชนิดนี้กับคลองรากฟันและเรซินคอมโพสิตแกนฟัน (resin composite for core build-up) ทำให้เกิดลักษณะความเป็นเนื้อเดียวกัน (monobloc)⁽⁶⁾ อย่างไรก็ตามปัญหาที่ยังพบได้ในกรณีนี้ได้แก่ การหลุดของเดือยจากคลองรากฟันเนื่องจากความล้มเหลวของการยึดติดระหว่างเรซินซีเมนต์ กับ เดือยฟัน^(7,8) ร่วมกับขาดการยึด

ติดที่มีประสิทธิภาพระหว่างเรซินคอมโพสิตแกนฟัน กับเดือยฟัน⁽⁹⁾ ซึ่งเกิดจากการที่เรซิน เมทิริกซ์ของเดือยคอมโพสิตเสริมเส้นใยส่วนใหญ่มีลักษณะเป็นโครงสร้างตาข่ายที่แน่นหนา (highly cross-linking) และปราศจากกลุ่มฟังชันนอล (functional group) ที่สามารถทำปฏิกิริยากับกลุ่มเมทาคริเลต (methacrylate group) ในเรซิน คอมโพสิต จึงขาดการยึดติดทางเคมีระหว่างผิวของวัสดุหั้งสองชนิด⁽¹⁰⁾ ด้วยเหตุนี้จึงมีความพยายามปรับสภาพพื้นผิวของเดือยคอมโพสิตเสริมเส้นใยเพื่อให้มีคุณสมบัติการยึดติดดีขึ้นด้วยวิธีเชิงกล^(11,12) หรือการใช้สารเคมี^(9,13,14) แต่พบว่าอาจทำให้ผิวเดือยคอมโพสิตชุกจะมากเกินไป ในบางกรณีอาจกัดกร่อนจนทำให้ปริมาตรเส้นใยแก้วหรือคัวห์ซ์ของเดือยลดลง เป็นผลให้เดือยลดความแข็งแรง⁽¹¹⁾ ในกรณีที่ใช้สารเคมี เช่น กรดไฮドรอฟลูออฟิค (hydrofluoric acid) อาจทำให้เกิดความชุกจะที่ไม่สม่ำเสมอและไม่สามารถทำข้ามได้⁽¹⁴⁾ และอาจก่อให้เกิดอันตรายต่อสิ่งแวดล้อมได้⁽¹⁵⁾

ในวงการอุตสาหกรรม การใช้พลาสมาเพื่อปรับปรุงคุณสมบัติการยึดติด (adhesive property) ของพื้นผิวพอ

ลิเมอร์เป็นที่ยอมรับอย่างกว้างขวาง⁽¹⁶⁾ เนื่องจากพลาสมาสามารถทำความสะอาดและกำจัดสิ่งปนเปื้อนบนผิวพอลิเมอร์ได้อย่างมีประสิทธิภาพ สามารถปรับเปลี่ยนส่วนประกอบพื้นผิวโดยการแตกแรงยึด (bond breaking) ระหว่างโมเลกุลของพอลิเมอร์ จากนั้นจึงทำปฏิกิริยา กับอนุภาคในพลาสมา ทำให้คุณสมบัติการเปียกน้ำบนพื้นผิว (surface wettability) ดีขึ้น สามารถเปลี่ยนโครงสร้างพื้นผิว (surface topography) โดยการกัดกร่อน (etching) หรือการเปลี่ยนองค์ประกอบพื้นผิว (decomposition) ด้วยการเคลือบผิว^(17,18) รวมทั้งสามารถทำให้เกิดชั้นตัวข่าย (cross-linking interface sublayer) ได้ต่อชั้นผิวพอลิเมอร์⁽¹⁷⁾ แต่คุณสมบัติที่สำคัญของพลาสมาคือการปรับสภาพที่เกิดขึ้นจะเกิดเฉพาะผิวนะ สุดของพอลิเมอร์โดยไม่ส่งผลกระทบต่อกุณสมบัติต้านในของพอลิเมอร์⁽¹⁹⁾

พลาสมาคือ ตัวกลางที่สามารถนำไฟฟ้าได้ เป็นแก๊สที่มีประจุ โดยที่นำไปแล้วพลาสماประกอบด้วยประจุบวกและประจุลบที่มีความหนาแน่นเท่ากัน หรือกล่าวได้ว่าเป็นกลุ่มของ อิเลคตรอน ไอโอน โมเลกุล อนุมูลอิสระ และอะตอมในสถานะกระตุ้น⁽²⁰⁾ พลาสmaแต่ละชนิดมีคุณสมบัติแตกต่างกัน เช่น อาร์กอนพลาสma (Argon plasma) กระตุ้นให้เกิดชั้นตัวข่ายได้ต่อชั้นผิวพอลิเมอร์ฟลูออเรนพลาสma (fluorine plasma) ช่วยลดพลังงานพื้นผิว (surface energy) พอลิเมอร์ และ ไฮโดรเจนสมกับอาร์กอนพลาสmaสามารถกำจัดออกไซด์ (oxide) ออกจากผิวโลหะได้⁽²¹⁾ ในวงการทันตกรรมได้นำพลาสma ปรับปรุงคุณสมบัติการยึดติดของพอลิเมอร์ เช่น การยึดฐานฟันเทียมชนิดพอลิเมธิล เมทัคริเลตชนิดบ่มด้วยความร้อน (heat cure polymethyl methacrylate) กับพอลิเมธิล เมทัคริเลตชนิดบ่มด้วยตัวเอง (self cure methyl methacrylate) และพบว่าพลาสmaสามารถเพิ่มแรงยึดติดอย่างมีนัยสำคัญ⁽²²⁾ และจากการศึกษาการใช้แก๊สหลาภya ชนิดพบว่า การใช้พลาสmaที่ผลิตจากแก๊ส ผสมระห่ำว่าง ไฮเดรย์ม 20 เปอร์เซ็นต์ กับ ไนโตรเจน 80 เปอร์เซ็นต์ ปรับสภาพผิวเดียวกับคอมโพสิตติดติดระหว่างเดียวกับคอมโพสิตเสริมเส้นใยกับคอมโพสิตแกนฟันชนิดเหลวและสามารถเปลี่ยนน้ำบนพื้นผิวของพอลิเมอร์ชนิดเดียวกับเดียวกับคอมโพสิตเสริมเส้นใย

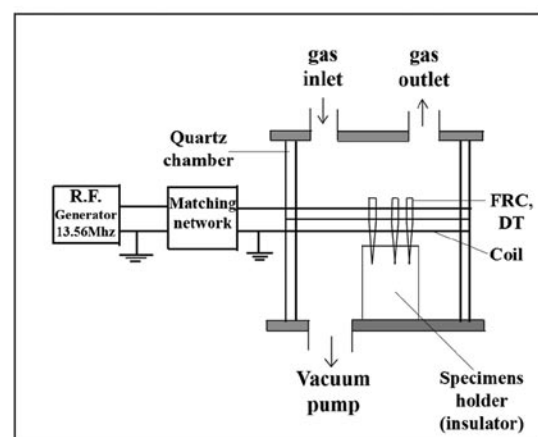
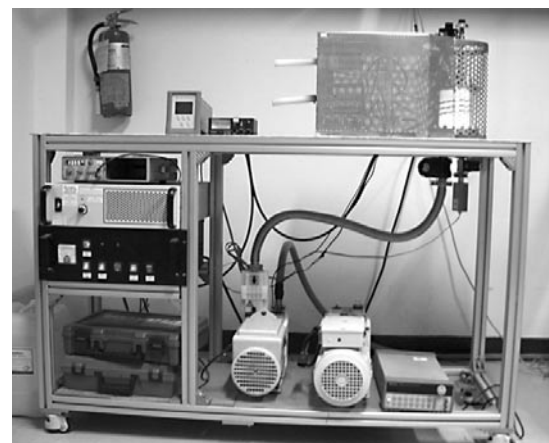
อย่างไรก็ตามการใช้พลาสmaให้มีประสิทธิภาพยังขึ้นกับปัจจัยทางเทคนิคหลายๆ ประการ เช่นความดันแก๊ส⁽²⁴⁾ กำลังคลื่นวิทยุ⁽²⁵⁾ และ ระยะเวลาในการปรับสภาพ⁽²⁶⁾ ซึ่งการใช้เวลาที่นานเกินไปจะทำให้คุณสมบัติพื้นผิวพอลิเมอร์เสื่อมลง โดยเกิดจากการสะสมของส่วนที่เหลือของพื้นผิวที่เสื่อมสภาพ⁽²⁷⁾ (degradation remnants) จากการศึกษานำร่องของผู้วิจัยพบว่า การใช้พลาสmaที่ ผลิตจากแก๊สผสมระห่ำว่าง ไฮเดรย์ม 20 เปอร์เซ็นต์ กับไนโตรเจน 80 เปอร์เซ็นต์ ที่ความดันแก๊ส 22.66×10^{-6} เมกะปลาสคาด กำลังคลื่นวิทยุ 75 วัตต์ ในเวลา 10 นาที ทำให้แรงยึดติดระหว่างเดียวกับคอมโพสิตเสริมเส้นใยแก้วที่มีพอลิเมอร์เมทริกซ์เป็นเมทاكริเลต กับคอมโพสิตแกนฟันชนิดเหลวมีค่าสูงสุดเมื่อเทียบกับการใช้ความดันแก๊ส และกำลังคลื่นวิทยุค่าต่างๆ กัน ในขณะที่พลาสماชนิดเดียวกัน ที่ความดันแก๊สเดียวกัน ถ้าใช้กำลังคลื่นวิทยุ 50 วัตต์ ในเวลา 10 นาที ให้แรงยึดติดระหว่างเดียวกับคอมโพสิตเสริมเส้นใยคาวอทซ์ที่มีพอลิเมอร์เมทริกซ์เป็นเซ็นอีปอกซี่ กับคอมโพสิตแกนฟันชนิดเหลวมีค่าสูงที่สุดเมื่อเทียบกับการใช้ความดันแก๊สและกำลังคลื่นวิทยุค่าต่างๆ อย่างไรก็ตาม ระยะเวลาที่เหมาะสมในการปรับสภาพผิวเดียวกับคอมโพสิตเสริมเส้นใยที่ทำให้มีแรงยึดติดดีที่สุดยังไม่เป็นที่ทราบชัดเจน ดังนั้นในการศึกษาครั้งนี้จึงมีวัตถุประสงค์เพื่อศึกษาผลของระยะเวลาที่ใช้พลาสmaปรับสภาพเดียวกับคอมโพสิตเสริมเส้นใยก่อนยึดกับคอมโพสิตแกนฟันชนิดเหลวต่อแรงยึดติดระหว่างสองวัสดุ ตลอดจนพลาสmaมีผลต่อสภาวะการเปลี่ยนน้ำบนพื้นผิวของพอลิเมอร์ชนิดเดียว กับเดียวกับคอมโพสิตเสริมเส้นใยอย่างไรเมื่อเปลี่ยนระยะเวลาของ การปรับสภาพ โดยมีสมมุติฐานว่าง (null hypothesis) ของการศึกษาคือ ระยะเวลาในการปรับสภาพพื้นผิวตัวอย่างพลาสmaไม่มีผลต่อแรงยึดติดระหว่างเดียวกับคอมโพสิตเสริมเส้นใยกับคอมโพสิตแกนฟันชนิดเหลวและสภาวะการเปลี่ยนน้ำบนพื้นผิวของพอลิเมอร์ชนิดเดียวกับเดียวกับเดียวกับคอมโพสิตเสริมเส้นใย

วัสดุอุปกรณ์และวิธีการ

เดียวกับคอมโพสิตเสริมเส้นใยแก้วที่มีพอลิเมอร์เมทริกซ์เป็นเมทاكริเลต เส้นผ่าศูนย์กลาง 2 มม. (เย็บ FRC Postec posts®: Batch number L47590, Ivoclar

Vivadent, Schaan, Liechtenstein; ต่อไปจะเรียกว่า FRC) และ เดือยคอมโพสิตเสริมเล่นไนค์อฟท์ที่มีพอลิเมอร์เมทริกเป็นเรซิน อีปอกซี เล่นผ้าศูนย์กลาง 1.8 มม. (ยึดห้อง DT Light posts[®] : Batch number 093730810, RTD, St. Egreville, France; ต่อไปจะเรียกว่า DT) จำนวนอย่างละ 36 แท่ง ถูกแบ่งออกเป็น 6 กลุ่ม ด้วยวิธีสุ่ม (simple random sampling without replacement) กลุ่มที่ 1 คือ กลุ่มที่เดือยไม่ได้รับการปรับสภาพพื้นผิวใดๆ เป็นกลุ่มควบคุม กลุ่มที่ 2-6 นำมารับสภาพด้วยพลาสม่าเป็นเวลา 3, 5, 10, 15, 30 นาทีตามลำดับ นำส่วนปลายด้านที่สองของเดือยที่จะปรับสภาพด้วยพลาสม่าแต่ละกลุ่มฯ ละ 6 แท่ง นายดกับตัวจับเดือยซึ่งวางแผนอยู่กึ่งกลางถังควรท์ทรงกระบอกของเครื่องกำเนิดพลาสมาความดันต่ำ (Low pressure plasma generating machine) (รูปที่ 1) จากนั้นดูดอากาศออกจากถังควรท์จนได้ความดันตั้งต้น (base pressure) 1.87×10^{-6} เมกะบลากascal แล้วปล่อยแก๊สผสมระหว่างว่าง ยีเลียมร้อยละ 20 กับ ไนโตรเจนร้อยละ 80 เข้าไปในถังควรท์ด้วยอัตรา 6 ลบ.ซม./นาทีจนได้ความดันคงที่ที่ 22.66×10^{-6} เมกะบลากascal จากนั้นจึงปล่อยกระแสไฟฟ้าผ่านชุดลวดที่ล้อมรอบกึ่งกลางถังควรท์ ด้วยกำลังคลื่นวิทยุ 75 วัตต์ สำหรับเดือย FRC และ 50 วัตต์สำหรับเดือย DT เป็นเวลา 3, 5, 10, 15, 30 นาที สำหรับกลุ่ม 2, 3, 4, 5, 6 ตามลำดับ

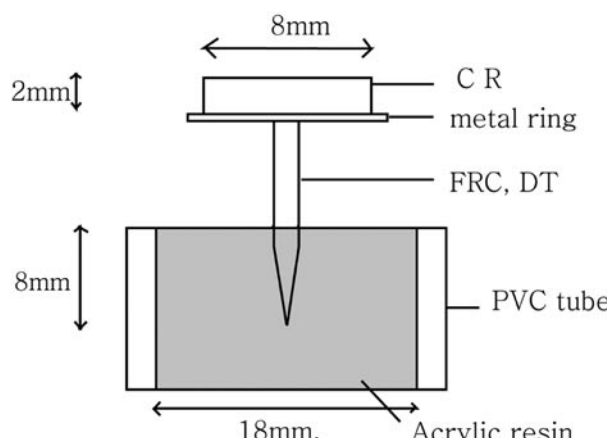
หลังจากนั้นเดือยคอมโพสิตเสริมเส้นใยแต่ละตัวๆ ถูกเก็บไว้ในขวดแก้วที่มีฝายางปิด ที่อุณหภูมิห้องและที่ความดันบรรยากาศ 12 ชั่วโมงหลังจากที่ปรับสภาพพื้นผิวด้วยพลาスマ เดือยทุกตัวในกราฟคลองนี้ถูกนำมาใช้ด้วยคอมโพสิตแกนพันชนิดเหลว (ยี่ห้อ MultiCore Flow® : Batch number K 44769, Ivoclar Vivadent, Schaan, Liechtenstein) รอบส่วนปลายบนที่เป็นทรงกระบอกของเดือยให้มีขนาดเส้นผ่าศูนย์กลาง 8 มม. และหนา 2 มม. ด้วยการใช้เบ้าโลหะเป็นตัวช่วยให้เดือยอยู่ตรงจุดศูนย์กลาง แล้วใช้เครื่องฉาบแสง (Elipar Trilight, 3M/ESPE, Seefeld, Germany) เร่งการเกิดพอลิเมอร์นาน 40 วินาที ด้วยความเร็วแสง 600 มิลลิวัตต์/ ซม.². นำแผ่นแหวนโลหะชนิดบางบริเวณกึ่งกลางเดียบตั้งจากกับเดือยเพื่อรองรับด้านใต้ของแกนพันคอม-



รูปที่ 1 รูปและแผนผังของเครื่องกำเนิดพลasmaความดันต่ำ โดยมีเดียวคอมโพสิตเสริมเล็กน้อย (FRC, DT) อยู่บนตัวจับเดียวซึ่งอยู่กึ่งกลางถังความดันทรงกระบอกของเครื่องกำเนิดพลasmaแรงดันต่ำ

Figure 1 Picture and schematic illustration of low pressure plasma generator with fiber-reinforced composite post (FRC, DT) on the specimen holder at the center of quartz chamber of the low pressure plasma generator

โพลีไวนิลคลอไรด์ หรือ PVC ที่มีขนาดเส้นผ่าศูนย์กลาง 20 มม. และสูง 10 มม. โดยใช้เป้าโลหะเป็นตัวช่วย และจุ่มปลายเดือยอลลงในท่อ ลึก 8 มม. เทเรซินจะครวิคเหตุผลไปให้เต็มท่อพีวีซี รอจนเรซินออกคริลิกแข็งตัว จึงนำชิ้นงานออกจากเป้า ชิ้นงานมีลักษณะดังรูปที่ 2



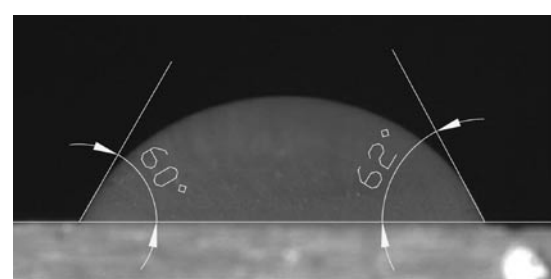
รูปที่ 2 แสดงแบบร่างชิ้นงานที่เสร็จเรียบร้อย โดยคอมโพลิตแกนพันชนิดเหลว (CR) ยึดส่วนบนของเดือยคอมโพลิตเสริมเลี้นไยและมีแผ่นแหวนโลหะบางรองด้านใต้ ส่วนปลายด้านล่างสอดของเดือย จุ่มอยู่ในเรซินอะคริลิกที่มีห่อพีวีซี (PVC) ห่อทั้ม

Figure 2 Schematic illustration of specimen with flowable composite core (CR) bond to the coronal end of fiber-reinforced composite post and supported by a thin metal ring, the apical end of the post attached with the acrylic resin in the PVC tube.

ชิ้นงานที่เตรียมเสร็จแล้วถูกเก็บในขวดแก้วที่มีฝาปิดเป็นเวลา 24 ชั่วโมงก่อนถูกทดสอบด้วยการดึง (pull-out test) โดยห่อพีวีซีของชิ้นงานถูกจับให้อยู่กับที่ด้วยตัวจับที่ออกแบบมาเฉพาะชิ้นที่ติดกับส่วนล่างของเครื่องทดสอบหากล (Lloyd, LR10K, Fareham, UK) ในขณะที่แผ่นแหวนโลหะที่รองรับแกนพันคอมโพลิตชนิดเหลวถูกเกี่ยวกับตัวจับที่ออกแบบพิเศษให้พอดีกับเดือยชิ้นตัวเกี่ยวนี้ติดกับส่วนเคลื่อนที่ของเครื่องทดสอบหากล ชิ้นงานถูกดึงด้วยอัตราเร็ว 1 มม./นาที จนกว่าแกนพันคอมโพลิตชนิดเหลวหลุดออกจากเดือยคอมโพลิตเสริมเลี้นไย แรงดึงเฉือนสูงสุด (นิวตัน) หารด้วยพื้นที่ของการยึดติด (ม^2) เพื่อให้ค่าเป็นเมกะปัลลาร์สำหรับการคำนวณทางสถิติ

สำหรับชิ้นงานที่ใช้ทดสอบคุณสมบัติการเปียกน้ำบนพื้นผิวโพลิเมอร์ ถูกเตรียมด้วยการใช้ เมทาคริเลต-เบสเรซิน (urethane dimethacrylate, Nagani chemical Inc., Japan) เทในเบ้าซิลิโคนที่มีเส้นผ่าศูนย์กลาง 2 ซม.

และหนา 2 มม. จำนวน 36 ชิ้น แล้วกระตุ้นการเกิดโพลิเมอร์ด้วยแสงเป็นเวลา 40 วินาที ในขณะที่เรซินอะปอกซี (diglycid ether of bisphenol and diethylene-triamine, Aldrich chemical company Inc., WI, USA) ก็เตรียมในลักษณะเดียวกันแต่ต้องทิ้งไว้ให้เกิดโพลิเมอร์เต็มที่เป็นเวลา 1 วัน จากนั้นนำชิ้นงานนี้ไปขัดด้วยกระดาษทรายน้ำเบอร์ 280 และ 600 จนได้ความหยาบของพื้นผิวประมาณ 10-20 ไมครอน ซึ่งมีค่าใกล้เคียงกับความหยาบของผิวเดือยคอมโพลิตเสริมเลี้นไย²⁸ ทำการทดสอบคุณสมบัติการเปียกน้ำพื้นผิวโพลิเมอร์ทำโดยหยดน้ำกลั่นด้วย ไมโครปีเพต (Socorex, Ecublens, Lausanne, Switzerland) ปริมาตร 10 ไมโครลิตร บนชิ้นงานแต่ละชิ้น ให้ระยะห่างของไมโครปีเพต กับชิ้นงานคงที่ 2 ซม. ถ่ายรูปหยดน้ำแต่ละหยดด้วยกล้องถ่ายภาพดิจิตอลขนาดความยาวโฟกัสของเลนซ์ 125 มม. ภายในเวลา 10 วินาทีหลังจากหยด โดยให้ระยะระหว่างหยดน้ำกับกล้องคงที่คือ 35 ซม. ตลอดการทดลอง นำภาพที่ได้ไปวัดมุมสัมผัสแอดเวนซิ่ง (advancing contact angle) ทั้ง 2 ข้างของหยดน้ำด้วยโปรแกรมออโต้แคด (AutoCAD 2007) (Autodesk Inc., California, USA) (รูปที่ 3) นำค่าเฉลี่ยของมุมที่ได้ของชิ้นงานในแต่ละกลุ่มมาพลอตกราฟระหว่างมุมสัมผัสแอดเวนซิ่งและระยะเวลาที่ปรับสภาพพื้นผิวด้วยพลาสma



รูปที่ 3 แสดงการวัดมุมล้มผัสด้วยแวนเชิงทั้ง 2 ข้างของหยดน้ำด้วยโปรแกรม ออโต้แคด

Figure 3 Illustration of two advancing contact angles of water droplet by AutoCAD program

ผลการวิจัย

ค่าแรงดึงเฉือน (เมกะปลาสคาล) ของเดือย FRC และ DT แสดงในตารางที่ 1 และ กราฟแนวโน้มแรงดึงเฉือนของเดือย FRC และ DT เมื่อเวลาปรับสภาพผิวด้วยพลาสม่าเพิ่มขึ้น แสดงในรูปที่ 4 และ 5 ตามลำดับ

ตารางที่ 1 ค่าเฉลี่ยของแรงดึงเฉือน (เมกะปลาสคาล) และส่วนเบี่ยงเบนมาตรฐาน (ในวงเล็บ) ของเดือย FRC และ DT ในแต่ละกลุ่ม

Table 1 Mean of tensile-shear bond strength values in MPa and (standard deviations) of FRC and DT in each group

	กลุ่มไม่ปรับสภาพ	ระยะเวลาในการปรับสภาพด้วยพลาสม่า				
		3 นาที	5 นาที	10 นาที	15 นาที	30 นาที
FRC	13.85 (0.63) ^a	23.48 (3.08) ^b	23.10 (3.35) ^b	29.37 (3.36) ^c	25.53 (1.40) ^{b,c}	24.02 (2.88) ^b
DT	13.90 (1.26) ¹	21.42 (3.51) ²	26.60 (2.09) ²	28.35 (2.60) ²	32.68 (1.37) ³	31.80 (2.47) ³

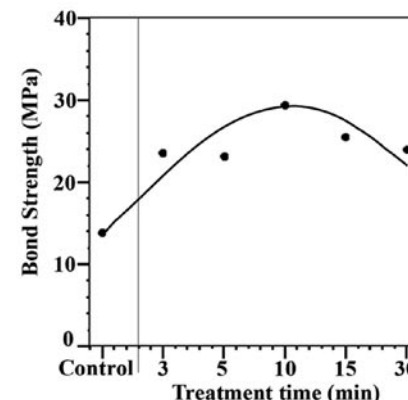
อักษรหรือเลขตัวยกที่ต่างกันแสดงว่ามีความแตกต่างกันอย่างมีนัยสำคัญที่ระดับความเชื่อมั่นร้อยละ 95

Differences in letter or number of superscript denote significant differences at $p < 0.05$

จากการทดสอบด้วยการวิเคราะห์ความแปรปรวนแบบจำแนกทางเดียว (1-way ANOVA) ในเดือย FRC พบว่า ทุกกลุ่มที่ปรับสภาพพื้นผิวด้วยพลาสม่า มีค่าแรงดึงเฉือนมากกว่าค่าแรงดึงเฉือนในกลุ่มควบคุมอย่างมีนัยสำคัญที่ระดับความเชื่อมั่นร้อยละ 95 และแรงดึงเฉือนที่เดือยผ่านการปรับสภาพพื้นผิวด้วยพลาสมานาน 10 นาที มีค่ามากที่สุดเมื่อเทียบกับทุกกลุ่มยกเว้นกลุ่มที่ผ่านการปรับสภาพพื้นผิวด้วยพลาสมานาน 15 นาที

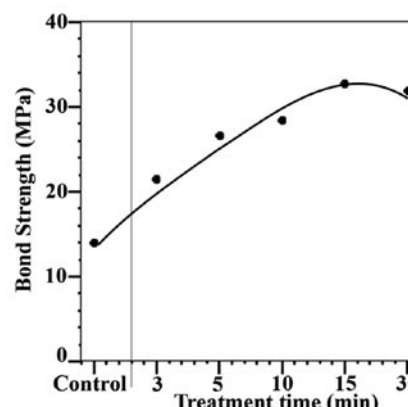
สำหรับเดือย DT พบว่า ทุกกลุ่มที่ปรับสภาพพื้นผิวด้วยพลาสมามีค่าแรงดึงเฉือนมากกว่าค่าแรงดึงเฉือนในกลุ่มควบคุมอย่างมีนัยสำคัญที่ระดับความเชื่อมั่นร้อยละ 95 และแรงดึงเฉือนที่เดือยผ่านการปรับสภาพพื้นผิวด้วยพลาสมานาน 15 นาที มีค่ามากที่สุดเมื่อเทียบกับทุกกลุ่มยกเว้นกลุ่มที่ผ่านการปรับสภาพพื้นผิวด้วยพลาสมานาน 30 นาที

กราฟระหว่างมุนส์ส์และแนวโน้มของหยดน้ำบนแผ่นเมทัคริเลตเบสเรซิน และ เรซินอิปอกอชี กับระยะเวลาที่ปรับสภาพพื้นผิวด้วยพลาสม่า ลดลงจนมีค่า



รูปที่ 4 กราฟแนวโน้มแรงดึงเฉือนของเดือย FRC เมื่อเวลาปรับสภาพพื้นผิวด้วยพลาสม่าเพิ่มขึ้น

Figure 4 Curve-fit of tensile-shear bond strength of FRC and plasma treatment time



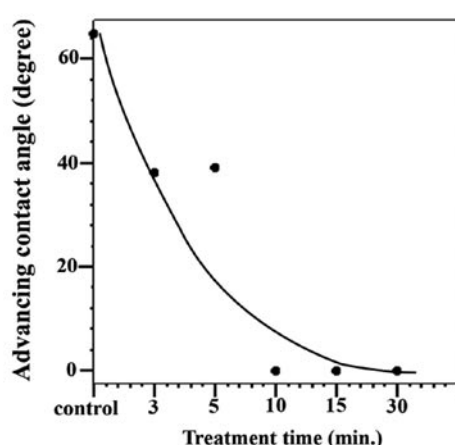
รูปที่ 5 กราฟแนวโน้มแรงดึงเฉือนของเดือย DT เมื่อเวลาปรับสภาพพื้นผิวด้วยพลาสม่าเพิ่มขึ้น

Figure 5 Curve-fit of tensile-shear bond strength of DT and plasma treatment time

เท่ากับศูนย์เมื่อใช้เวลาปรับสภาพพื้นผิวนาน 30 นาที (แสดงในรูป 6 และ 7 ตามลำดับ)

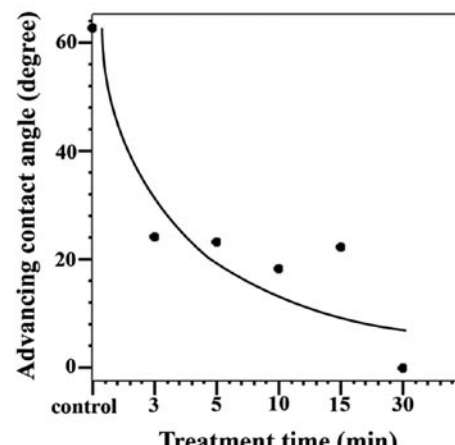
บทวิจารณ์

จากการทดลองเห็นได้ว่าแรงดึงเฉือนของเดือยคุณพอลิสติกเริมเส้นใหญ่ทั้ง 2 ยี่ห้อที่ผ่านการปรับสภาพพื้นผิวด้วยพลาสม่า เพิ่มขึ้นอย่างรวดเร็วในช่วงแรกๆ ของการเพิ่มเวลา แล้วจึงถึงจุดสูงสุด หลังจากนั้นก็จะลดลงเมื่อเวลาผ่านไป แสดงถึงกับการศึกษาของ Hall และคณะ ในปี ค.ศ. 2007⁽²⁴⁾ โดยให้เหตุผลว่าการที่แรงดึงติดมีค่าเพิ่มขึ้นอย่างรวดเร็วในช่วงต้นๆ เนื่องจาก การสร้าง



รูปที่ 6 กราฟแนวโน้มมุมล้มผัสแอดแวนชิ่งของพอลิเมอร์แบบแมก刹那ริเตตเบสเรซิน เมื่อเวลาปรับสภาพพื้นผิวด้วยพลาสม่าเพิ่มขึ้น

Figure 6 Curve-fit of advancing contact angle of water droplet on methacrylate-base resin plate with plasma treatment time



รูปที่ 7 กราฟแนวโน้มมุมล้มผัสแอดแวนชิ่งของพอลิเมอร์แบบเรซินอีป็อกซี่ เมื่อเวลาปรับสภาพพื้นผิวด้วยพลาสม่าเพิ่มขึ้น

Figure 7 Curve-fit of advancing contact angle of water droplet on epoxy resin plate with plasma treatment time

ชั้นตาข่ายของพอลิเมอร์อย่างรวดเร็ว และมีการกำจัดเศษสารที่มีน้ำหนักโมเลกุลต่ำ (low molecular fractions) ออกไป นอกจากนี้ Liston และคณะ ในปี ค.ศ. 1993⁽¹⁸⁾ ได้รายงานว่า แก๊สไนโตรเจนที่แตกตัวเป็นพลาสม่าจะแพร่ลงสีอัลตราไวโอลেตในภาวะสูญญากาศ (vacuum

ultraviolet) ซึ่งเหนี่ยงนำให้เกิดการสร้างชั้นตาข่ายได้ต่อชั้นพื้นผิวพอลิเมอร์ ชั้นตาข่ายนี้เป็นตัวกันไม่ให้เกิดการแพร่กระจายของสารที่มีน้ำหนักโมเลกุลต่ำจากด้านในพอลิเมอร์ออกมาน้ำพื้นผิวด้านนอก ในทางตรงข้ามชั้นนี้ยังเป็นตัวลดการปรับตัวของอนุภาคที่มีขั้วครึงหนึ่ง (polar moieties) ที่พยายามเคลื่อนตัวจากพื้นผิวด้านนอกไปสู่ด้านในของพอลิเมอร์ ทำให้พลังงานที่พื้นผิวยังคงอยู่ได้ จึงมีการไหลแพร่ของวัสดุที่นำมายืดได้ดีขึ้น รวมทั้งอนุภาคที่มีพลังงานในเชิงเคมีอย่างพลาสมายังระดมยิง (bombardment) ผิวของพอลิเมอร์ เกิดการแตกของสายพอลิเมอร์ ซึ่งในการทดลองนี้ กลุ่มฟังชั่นอลของไนโตรเจนที่เกิดจากพลาสม่าในไนโตรเจน สามารถเข้าไปมีพันธะทางเคมีกับสายพอลิเมอร์ที่แตกออกจากกัน สันนิษฐานได้ว่า กลุ่มฟังชั่นอลของไนโตรเจนที่พื้นผิวของเดียวกับผ่านการปรับสภาพด้วยพลาสม่า สามารถทำปฏิกิริยากับกลุ่มฟังชั่นอลในคอมโพสิตแกนพันชนิดเหลว จึงให้แรงยึดติดดีขึ้น อย่างไรก็ตาม เมื่อเวลาการปรับสภาพเพิ่มขึ้น พลังงานที่ให้ต่อเนื่องสู่ระบบก่อให้เกิดการตัดสายพอลิเมอร์ (chain scission) เพิ่มขึ้น และสารที่มีน้ำหนักโมเลกุลต่ำ ก็แพร่กระจายมาสู่ผิวมากขึ้น โดยปกติสายพอลิเมอร์ที่เป็นเสมือนแกนปฐมภูมิ (primary nucleus) สำหรับให้มีการเกะกะระหว่างมอนомер ต้องสามารถหลอมละลาย (redissolve) แล้วสร้างกลับมาใหม่ได้ (reform) แต่ในกรณีที่สายพอลิเมอร์ถูกตัดให้สั้นเกินไป จะเกิดเฉพาะการหลอมละลายอย่างเดียว⁽²⁹⁾ ประกอบกับมีการแพร่กระจายของอนุนุล็อกิเดรฟ์ (free radical) ที่อยู่บริเวณผิวไปสู่ด้านในของพอลิเมอร์ ปรากฏการณ์เหล่านี้น่าจะเป็นสาเหตุให้การสร้างพันธะระหว่างกลุ่มฟังชั่นอลของเดียวกับคอมโพสิตเสริมเส้นใย กับ คอมโพสิตแกนพันชนิดเหลวลดลง ซึ่งผลของการศึกษานี้สอดคล้องกับการทดลองของ Rusu และคณะในปี ค.ศ. 2007⁽²⁹⁾ ที่ใช้อาร์กอนพลาสม่าปรับสภาพพอลิเอทธิลีน เทเรฟทาเลต (polyethelene terephthalate) และพบว่า การปรับสภาพพื้นผิวพอลิเมอร์ด้วยพลาสม่าที่พลังงานระดับต่ำ (mild plasma treatment) ทั้งในและกำลังคลื่นวิทยุ ความดันแก๊ส และระยะเวลาในการปรับสภาพพื้นผิว ทำให้เกิดการอكسิเดชัน (oxidation) ที่ผิวอย่างเหมาะสม แต่เมื่อเวลานานขึ้นจะทำให้เกิดผลตรงกันข้ามของการอีกซิเดชัน เนื่อง

จากมีการกัดกร่อนบริเวณพื้นผิวที่มากเกินไปจากการระดมยิงของไอออนที่มีพลังงาน (energetic ion) ในพลาสม่า

สำหรับมุ่มสัมผัสแอ็อดแวนซิ่งของหยดน้ำบนแผ่นเมทاكอริเลตเรซิน และ เรซิโนบีปอกซี พบร่วมมุ่มสัมผัสแอ็อดแวนซิ่งลดลงเมื่อเวลาการปรับสภาพพื้นผิวด้วยพลาสม่าเพิ่มขึ้น บ่งบอกได้ว่าสิ่งเวลาปรับสภาพนานขึ้น คุณสมบัติการเปียกน้ำบนพื้นผิวจะมากขึ้น ฉะนั้นการให้เหลาแผ่นของวัสดุที่นำมาเย็บดีขึ้นด้วยเช่นกัน สำหรับแผ่นเมทากอริเลตเรซิน ซึ่งเป็นพอลิเมอร์ชนิดเดียวกับเดียวกับ FRC พบร่วมกันที่มีเวลาปรับสภาพพื้นผิวนานกว่า 10 นาที มุ่มสัมผัสแอ็อดแวนซิ่งมีค่าเป็นศูนย์ไปตลอด โดยหลักการแล้วค่าแรงดึงเฉือนของเดียวน้ำจะสูงและคงที่ แต่พบร่วมกันที่แรงดึงเฉือนของเดียวกับ DT 30 นาที ซึ่งค่าแรงดึงเฉือนของเดียวกับ DT น้ำจะสูงที่สุด แต่ปรากฏว่าแรงดึงเฉือนกลับเริ่มลดลง จึงอาจกล่าวได้ว่าค่ามุ่มสัมผัสแอ็อดแวนซิ่งไม่สามารถใช้คาดการณ์แรงดึงติดของผิวเดียวกับ FRC ได้ เนื่องจากพลังงานพื้นผิวด้วยพลาสม่าเกิน 10 นาที ส่วนเรซิโนบีปอกซี ค่ามุ่มสัมผัสแอ็อดแวนซิ่งมีค่าเท่ากับศูนย์เมื่อเวลาปรับสภาพพื้นผิวเท่ากับ 30 นาที ซึ่งค่าแรงดึงเฉือนของเดียวกับ DT น้ำจะสูงที่สุด แต่ปรากฏว่าแรงดึงเฉือนกลับเริ่มลดลง จึงอาจกล่าวได้ว่าค่ามุ่มสัมผัสแอ็อดแวนซิ่งไม่สามารถใช้คาดการณ์แรงดึงติดของผิวเดียวกับ FRC ได้ เนื่องจากพลังงานพื้นผิวที่ต้องการสำหรับน้ำและคอมโพสิตแกนฟัน ชนิดเหลว เพื่อการให้เหลาที่ดีนั้นแตกต่างกันโดยสิ้นเชิง ซึ่งสอดคล้องกับการศึกษาของ Loyaga-Rendon และคณะ ในปี ค.ศ. 2007⁽³⁰⁾ จากผลการทดลองเจึง ปฏิเศษสมมุติฐานว่า ระยะเวลาในการปรับสภาพพื้นผิวด้วยพลาสม่าไม่มีผลต่อแรงดึงติดระหว่างเดียวกับ FRC ได้ เนื่องจากพลังงานพื้นผิวที่ต้องการสำหรับน้ำและคอมโพสิตแกนฟัน ชนิดเหลวและคอมโพสิตแกนฟันชนิดเหลวและมุ่มสัมผัสแอ็อดแวนซิ่ง

บทสรุป

ภายใต้ข้อจำกัดของการทดลองครั้งนี้ สามารถสรุปผลได้ดังนี้

1. ระยะเวลาที่เหมาะสมในการใช้พลาสม่าของแก๊สผสมระหว่างไฮเดรียมกับไนโตรเจน ปรับสภาพเดียวกับ FRC ที่ความดันแก๊ส 22.66×10^{-6} เมกะพลาสกาลและกำลังคลื่นวิทยุ 75 วัตต์ คือ 10 นาที ในขณะที่เดียวกับ DT ที่ใช้ความดันแก๊สเท่ากัน แต่ใช้กำลังคลื่นวิทยุ 50 วัตต์ ควรใช้เวลา 15 นาที จึงจะทำให้แรงดึงเฉือนมีค่าสูงสุด
2. ค่ามุ่มสัมผัสแอ็อดแวนซิ่งของน้ำกลั่นบนพื้นผิวพอก

ลิเมอร์ที่ผ่านการปรับสภาพด้วยพลาสม่าในเวลาต่างๆ กันไม่สามารถใช้คาดการณ์แรงดึงติดของเดียวกับ FRC ได้ เนื่องจากพลังงานพื้นผิวที่ต้องการสำหรับน้ำและคอมโพสิตแกนฟันชนิดเหลวได้

กิตติกรรมประการ

ขอขอบคุณ คุณสมฤทธิ์ ตันมา และคุณชาญชัย อุโมงค์ ศุนย์วิจัยนิวตرونพลังงานสูง ภาควิชาพิสิกส์ คณะวิทยาศาสตร์ มหาวิทยาลัยเชียงใหม่ ที่ให้ความช่วยเหลือเกี่ยวกับการใช้เครื่องกำเนิดพลาสม่าความดันต่ำ ขอขอบคุณบริษัท ยูนิตี้ เท็นทัล จำกัด ที่สนับสนุนเดียวกับ FRC Prostec post® และคอมโพสิตแกนฟันชนิดเหลวที่ห้อ MultiCore Flow® ขอขอบคุณบริษัท แอ็คติ-อน (ประเทศไทย) จำกัด ที่สนับสนุนเดียวกับ DT Light post®

เอกสารอ้างอิง

1. Monticelli F, Grandini S, Goracci C, Ferrari M. Clinical behavior of translucent-fiber posts: a 2-years prospective study. *Int J Prosthodont* 2003; 16:593-596.
2. Kalkan M, Usumez A, Ozturk AN, Belli S, Eskitascioglu G. Bond strength between root dentin and three glass-fiber post systems. *J Prosthet Dent* 2006; 96: 41-46.
3. Eskitascioglu G, Belli S, Kalkan M. Evaluation of two post core systems using two different methods (fracture strength test and a finite element stress analysis). *J Endod* 2002; 28: 629-633.
4. Artopoulou II, O'Keefe KL. Materials used in prefabricated post and core systems. A review of the literature. *Tex Dent J* 2006; 123: 358-363.
5. Duret B, Duret F, Reynaud M. Long-life physical property preservation and post-endodontic rehabilitation with the composipost. *Compend Contin Educ Dent* 1996; 20: s50-56.
6. Boschian PL, Guidotti S, Pietrabissa R,

- Gagliani M. Stress distribution in a post-restored tooth using the three-dimensional finite element method. *J Oral Rehabil* 2006; 33: 690-697.
7. Baldissara P, Zicari F, Valandro LF, Scotti R. Effect of root canal treatments on quartz fiber posts bonding to root dentin. *J Endod* 2006; 32: 985-988.
 8. Perdigao J, Gomes G, Lee IK. The effect of silane on the bond strengths of fiber posts. *Dent Mater* 2006; 22: 752-758.
 9. Aksornmuang J, Foxton RM, Nakajima M, Tagami J. Microtensile bond strength of a dual-cure resin core material to glass and quartz fibre posts. *J Dent* 2004; 32: 443-450.
 10. Purton DG, Payne JA. Comparison of carbon fiber and stainless steel root canal posts. *Quintessence Int* 1996; 27: 93-97.
 11. Sahafi A, Peutzfeldt A, Asmussen E, Gotfredsen K. Effect of surface treatment of prefabricated posts on bonding of resin cement. *Oper Dent* 2004; 29: 60-68.
 12. Balbush A, Kern M. Effect of surface treatment on retention of glass-fiber endodontic posts. *J Prosthet Dent* 2006; 95: 218-223.
 13. Goracci C, Raffaelli O, Monticelli F, Balleri B, Bertelli E, Ferrari M. The adhesion between prefabricated FRC posts and composite resin cores: microtensile bond strength with and without post-silanization. *Dent Mater* 2005; 21: 437-444.
 14. Vano M, Goracci F, Monticelli F, et al. The adhesion between fiber posts and composite resin cores: the evaluation of microtensile bond strength following various surface chemical treatments to posts. *Int Endod J* 2006; 39: 31-39.
 15. Yang S, Gupta MC. Surface modification of polyethyleneterephthalate by an atmospheric-pressure plasma source. *Surface & Coating Technol* 2004; 187: 172-176.
 16. Lai J, Sunderland B, Xue J, et al. Study on hydrophilicity of polymer surfaces improved by plasma treatment. *Appl Surf Sci* 2006; 252: 3375-3379.
 17. Grace JM, Gerenser LJ. Plasma treatment of polymers. *J dispersion Sci Technol* 2003; 24: 305-341.
 18. Liston EM, Martinu L, Wertheimer MR. Plasma surface modification of polymers for improved adhesion: a critical review. *J Adhesion Sci Technol* 1993; 7: 1091-1127.
 19. Inagaki N. Plasma surface modification and polymer chain ends. *J Vac Soc Jpn* 2007; 50: 625-628.
 20. ศรีเพ็ญ ท้าวตอก กระบวนการผลิตพลาสมาเพื่อปรับเปลี่ยนสมบัติสิ่งทอ (ปีที่ 2) วิทยานิพนธ์ปริญญาโท มหาวิทยาลัยเชียงใหม่, 2547
 21. Noh BI, Seok CS, Moon WC, Jung SB. Effect of plasma treatment on adhesion characteristics at interface between underfill and substrate. *Int J Adhes Adhes* 2007; 27: 200-206.
 22. Nishigawa G, Maruo Y, Oka M, Oki K, Minaki S. Plasma treatment increased shear bond strength between heat-cured acrylic resin and self-curing acrylic resin. *J Oral Rehabil* 2003; 30: 1081-1084.
 23. Yavirach P, Chaijareenont P, Boonyawan D, et al. Effects of plasma treatment on the shear bond strength between fiber-reinforced composite posts and resin composite for core build-up. *Dent Mater* 2009; 28: 686-692.
 24. Hall JR, Westerdahl CAL, Bodnar J, Levi DW. Effect of activated gas plasma treatment time on adhesive bondability of polymers. *J Appl Polym Sci* 1972; 16: 1465-1477.

25. Riccardi C, Barni R, Selli E, et al. Surface modification of poly(ethylene terephthalate) fibers induced by radio frequency air plasma treatment. *Appl Surf Sci* 2003; 211: 386-397.
26. Cvelbar U, Pejovnik S, Mozetie M, Zalar A. Increased surface roughness by oxygen plasma treatment of graphite/polymer composite. *Appl Surf Sci* 2003; 210: 255-261.
27. Hesby RM, Haganman CR, Stanford CM. Effects of radiofrequency glow discharge on impression material surface wettability. *J Prosthet Dent* 1997; 77: 414-422.
28. Trushkowsky RD. Coronoradicular rehabilitation with a carbon-fiber post. *Compend Contin Educ Dent* 1996; 20: s74-79.
29. Rusu IA, Borcia G, Sayed SO, Sullivan JL. Arf plasma effect on polymer surface. Paper read at 28th ICPIG. 15-20 July 2007, at Prague, Czech Republic.
30. Loyaga-Rendon PG, Takahashi H, Iwasaki N, Reza F. Effect of ultraviolet light irradiation on bonding of experimental composite resin artificial teeth. *Dent Mater* 2007; 26: 805-813.

ขอสำเนาบทความที่:

ผศ.พิริยะ ยาवิราช ภาควิชาทันตกรรมประดิษฐ์ คณะทันตแพทยศาสตร์ มหาวิทยาลัยเชียงใหม่ จังหวัดเชียงใหม่ 50200

Reprint requests:

Assistant Professor Piriya Yavirach, Department of Prosthodontics, Faculty of Dentistry, Chiang Mai University, Chiang Mai 50200.